

(19) 日本国特許庁(JP)

(12) 特 許 公 報(B2)

(11) 特許番号

特許第4256420号  
(P4256420)

(45) 発行日 平成21年4月22日(2009.4.22)

(24) 登録日 平成21年2月6日(2009.2.6)

(51) Int. Cl. F 1  
**B 6 2 D 5/04 (2006.01)** B 6 2 D 5/04  
**F 1 6 H 13/04 (2006.01)** F 1 6 H 13/04 E

請求項の数 9 (全 19 頁)

(21) 出願番号	特願2006-303712 (P2006-303712)	(73) 特許権者	000006013 三菱電機株式会社 東京都千代田区丸の内二丁目7番3号
(22) 出願日	平成18年11月9日(2006.11.9)	(74) 代理人	100073759 弁理士 大岩 増雄
(65) 公開番号	特開2008-120153 (P2008-120153A)	(74) 代理人	100093562 弁理士 児玉 俊英
(43) 公開日	平成20年5月29日(2008.5.29)	(74) 代理人	100088199 弁理士 竹中 考生
審査請求日	平成18年11月9日(2006.11.9)	(74) 代理人	100094916 弁理士 村上 啓吾
		(72) 発明者	小河 賢二 東京都千代田区丸の内二丁目7番3号 三菱電機株式会社内

最終頁に続く

(54) 【発明の名称】 伝達比可変機構

(57) 【特許請求の範囲】

【請求項1】

操舵ハンドルと一体に回転する第1のステアリングシャフトと前記第1のステアリングシャフトと同軸に配置され操向輪を転舵する転舵部材と一体に回転する第2のステアリングシャフトとに結合され、前記第1のステアリングシャフトと前記第2のステアリングシャフトとの間の回転の伝達を行うと共にその回転の伝達比を変化させ得る伝達比可変機構であって、前記第1のステアリングシャフトと前記第2のステアリングシャフトとに対して同軸に配置されと共に回転可能に設けられた円筒状のキャリアと、一方の表面が前記第1のステアリングシャフトの端部に対向し他方の表面が前記第2のステアリングシャフトの端部に対向して配置されると共にこれらのステアリングシャフト及び前記キャリアに対して偏心して配置され且つ外周面が前記キャリアの内周面に回転可能に支持された偏心回転板と、前記キャリアを回転させるキャリア駆動手段とを備え、前記偏心回転板は、前記第1のステアリングシャフトに対向する表面にサイクロイド曲線に基づいて構成された第1のサイクロイド溝を備えと共に前記第2のステアリングシャフトに対向する表面にサイクロイド曲線に基づいて構成された第2のサイクロイド溝を備え、前記第1のステアリングシャフトは、前記偏心回転板に対向する表面にサイクロイド曲線に基づいて構成された第3のサイクロイド溝を備え、前記第2のステアリングシャフトは、前記偏心回転板に対向する表面にサイクロイド曲線に基づいて構成された第4のサイクロイド溝を備え、前記第1のサイクロイド溝と前記第2のサイクロイド溝とは前記偏心回転板の軸心と同心に形成され、前記第3のサイクロイド溝と前記第4のサイクロイド溝とは前記第1のステア

10

20

リングシャフト及び第2のステアリングシャフトの軸心と同心に形成され、前記第1のステアリングシャフトと前記偏心回転板とは、前記第3のサイクロイド溝と前記第1のサイクロイド溝とに夫々係合する第1の回転伝達ボール群を介して回転の伝達が行われ、前記偏心回転板と前記第2のステアリングシャフトとは、前記第2のサイクロイド溝と前記第4のサイクロイド溝とに夫々係合する第2の回転伝達ボール群を介して回転の伝達が行われ、前記第1乃至第4のサイクロイド溝は、前記第1のステアリングシャフトと前記偏心回転板との間の回転の伝達比と前記第2のステアリングシャフトと前記偏心回転板との間の回転の伝達比とを異ならせるように構成され、前記駆動源により前記キャリアを回転させることにより、前記第1のステアリングシャフトと前記第2のステアリングシャフトとの間の回転の伝達比を変化させる操ことを特徴とする伝達比可変機構。

10

**【請求項2】**

前記第1のサイクロイド溝と前記第3のサイクロイド溝のうち的一方がエピサイクロイド曲線に基づいて構成され、他方がハイポサイクロイド曲線に基づいて構成され、前記第4のサイクロイド溝と前記第2のサイクロイド溝のうち的一方がエピサイクロイド曲線に基づいて構成され、他方がハイポサイクロイド曲線に基づいて構成され、前記第1のサイクロイド溝と前記第3のサイクロイド溝とは第1の基準円を有するサイクロイド曲線に基づいて構成され、前記第4のサイクロイド溝と前記第2のサイクロイド溝とは第2の基準円を有するサイクロイド曲線に基づいて構成され、前記第1の基準円と前記第2の基準円とは異なる半径を有することを特徴とする請求項1に記載の伝達比可変機構。

**【請求項3】**

20

前記キャリアの回転を禁止し得るキャリア固定手段を備えたことを特徴とする請求項1に記載の伝達比可変機構。

**【請求項4】**

前記キャリア固定手段に所定値以上の力が加えられたとき、前記キャリアの回転を許容するキャリア回転許容手段を備えたことを特徴とする請求項3に記載の伝達比可変機構。

**【請求項5】**

前記第1のステアリングシャフトと前記第2のステアリングシャフトとは、前記偏心回転板の方向に与圧が与えられていることを特徴とする請求項1に記載の伝達比可変機構。

**【請求項6】**

前記キャリアに固定され前記キャリアの軸心と同一直線上に軸心を有する第1の歯車と、前記キャリアの軸心の方向に対して直交する方向の軸心を有し前記第1の歯車に結合する第2の歯車とを備え、前記キャリア駆動手段は、前記第2の歯車を駆動することにより前記キャリアを駆動するよう構成されたことを特徴とする請求項1に記載の伝達比可変機構。

30

**【請求項7】**

前記キャリアに固定され前記キャリアの軸心と同一直線上に軸心を有する第1の歯車と、前記キャリアの軸心の方向と平行する方向の軸心を有し前記第1の歯車に結合する第2の歯車とを備え、前記キャリア駆動手段は、前記第2の歯車を駆動することにより前記キャリアを駆動するよう構成されたことを特徴とする請求項1に記載の伝達比可変機構。

**【請求項8】**

40

前記キャリア駆動手段は、中空部が前記第2のステアリングシャフト又は第1のステアリングシャフトにより貫通される中空回転軸を備え、前記中空回転軸により前記キャリアを駆動することを特徴とする請求項1に記載の伝達比可変機構。

**【請求項9】**

前記キャリア駆動手段は、前記キャリアを回転子の構成部材の一部とする電動機により構成されていることを特徴とする請求項1に記載の伝達比可変機構。

**【発明の詳細な説明】****【技術分野】****【0001】**

この発明は、車両の操舵装置等に用いる伝達比可変機構に関し、更に詳しくは、運転者

50

の操作する操舵ハンドルの操舵角と前記車両の操向車輪の転舵角との間の伝達特性を変化させることができる伝達比可変機構に関するものである。

【背景技術】

【0002】

従来、車両の操舵装置は、運転者の操作する操舵ハンドルと車両の操向車輪との間に伝達比可変機構を搭載し、運転者の操作する操舵ハンドルの操舵角に対する操向車輪の転舵角の伝達特性を、車両の走行状態に応じて変化させるよう構成されている。操舵ハンドルの操舵角に対する操向車輪の転舵角の伝達特性の変化は、一般に、操舵ハンドルと一体に回転するステアリングシャフトと転舵輪を転舵させる部材と一体に回転するステアリングシャフトとの回転の伝達比を変化させることにより行われる。このような操舵装置に用いられる伝達比可変機構として、回転の伝達比を可変とする機構部分に波動歯車機構を用いた伝達比可変機構が提案されている（例えば、特許文献1参照）。特許文献1に示された伝達比可変機構は、入力軸に接続されるステータギヤと、出力軸に繋がるドリブンギヤと、伝達比を変化させるための電動機に接続された楕円形状の波動発生装置と、この波動発生装置の周囲に設置され前記2つのギヤに同時に噛み合うフレキシブルギヤとにより構成されている。

10

【0003】

特許文献1に示された伝達比可変機構に於いて、ステータギヤは入力軸の回転により回転し、フレキシブルギヤは楕円形状の波動発生装置の周りを弾性変形しながら回転する。フレキシブルギヤは、ドリブンギヤにも噛み合っているため、フレキシブルギヤの回転は、ドリブンギヤに接続されている出力軸に伝達される。電動機により波動発生装置を回転させると、フレキシブルギヤと、ステータギヤ及びドリブンギヤとの噛み合い箇所も同期して回転する。ステータギヤとドリブンギヤとの歯数が異なるため、その歯数差と波動発生装置の回転角とに応じた回転が出力軸に重畳される。

20

【0004】

【特許文献1】特開2006-44402号公報

【発明の開示】

【発明が解決しようとする課題】

【0005】

このように波動歯車を用いた従来の伝達比可変機構の場合、波動歯車機構の構造上、ステータギヤの外周からドリブンギヤを閉じこめるように入力軸を設けているが、入力軸により閉じこめられたドリブンギヤからの出力軸は、波動発生装置に設けた貫通穴の中を通して外部に取り出す必要がある等、構造が複雑となり、ひいては組立が困難であるという課題がある。又、入力軸の回転により、フレキシブルギヤが変形しながら回転することから、入力軸に負荷がかかるという課題がある。更に、波動歯車機構の原理上、波動発生装置の回転に対する出力軸上への重畳回転への減速比が大きくなるため、波動発生装置を高速で回転させる必要がある等の課題がある。

30

【0006】

この発明は、従来の伝達比可変機構に於ける上記のような課題を解決するために成されたもので、簡単な構成で、容易に伝達比を変化させることができる伝達比可変機構を提供することを目的とする。

40

【課題を解決するための手段】

【0007】

この発明による伝達比可変機構は、操舵ハンドルと一体に回転する第1のステアリングシャフトと前記第1のステアリングシャフトと同軸に配置され操向輪を転舵する転舵部材と一体に回転する第2のステアリングシャフトとに結合され、前記第1のステアリングシャフトと前記第2のステアリングシャフトとの間の回転の伝達を行うと共にその回転の伝達比を変化させ得る伝達比可変機構であって、前記第1のステアリングシャフトと前記第2のステアリングシャフトとに対して同軸に配置されと共に回転可能に設けられた円筒状のキャリアと、一方の表面が前記第1のステアリングシャフトの端部に対向し他方の表面

50

が前記第2のステアリングシャフトの端部に対向して配置されると共にこれらのステアリングシャフト及び前記キャリアに対して偏心して配置され且つ外周面が前記キャリアの内周面に回転可能に支持された偏心回転板と、前記キャリアを回転させるキャリア駆動手段とを備え、前記偏心回転板は、前記第1のステアリングシャフトに対向する表面にサイクロイド曲線に基づいて構成された第1のサイクロイド溝を備え、前記第2のステアリングシャフトに対向する表面にサイクロイド曲線に基づいて構成された第2のサイクロイド溝を備え、前記第1のステアリングシャフトは、前記偏心回転板に対向する表面にサイクロイド曲線に基づいて構成された第3のサイクロイド溝を備え、前記第2のステアリングシャフトは、前記偏心回転板に対向する表面にサイクロイド曲線に基づいて構成された第4のサイクロイド溝を備え、前記第1のサイクロイド溝と前記第2のサイクロイド溝とは前記偏心回転板の軸心と同心に形成され、前記第3のサイクロイド溝と前記第4のサイクロイド溝とは前記第1のステアリングシャフト及び第2のステアリングシャフトの軸心と同心に形成され、前記第1のステアリングシャフトと前記偏心回転板とは、前記第3のサイクロイド溝と前記第1のサイクロイド溝とに夫々係合する第1の回転伝達ボール群を介して回転の伝達が行われ、前記偏心回転板と前記第2のステアリングシャフトとは、前記第2のサイクロイド溝と前記第4のサイクロイド溝とに夫々係合する第2の回転伝達ボール群を介して回転の伝達が行われ、前記第1乃至第4のサイクロイド溝は、前記第1のステアリングシャフトと前記偏心回転板との間の回転の伝達比と前記第2のステアリングシャフトと前記偏心回転板との間の回転の伝達比とを異ならせるように構成され、前記駆動源により前記キャリアを回転させることにより、前記第1のステアリングシャフトと前記第2のステアリングシャフトとの間の回転の伝達比を変化させるようにしたものである。

10

20

【発明の効果】

【0008】

この発明による伝達比可変機構によれば、第1のステアリングシャフトと第2のステアリングシャフトとに対して同軸に配置されと共に回転可能に設けられた円筒状のキャリアと、一方の表面が前記第1のステアリングシャフトの端部に対向し他方の表面が前記第2のステアリングシャフトの端部に対向して配置されると共にこれらのステアリングシャフト及び前記キャリアに対して偏心して配置され且つ外周面が前記キャリアの内周面に回転可能に支持された偏心回転板と、前記キャリアを回転させるキャリア駆動手段とを備え、第1のステアリングシャフトと偏心回転板とは、第3のサイクロイド溝と第1のサイクロイド溝とに夫々係合する第1の回転伝達ボール群を介して回転の伝達が行われ、偏心回転板と第2のステアリングシャフトとは、第2のサイクロイド溝と第4のサイクロイド溝とに夫々係合する第2の回転伝達ボール群を介して回転の伝達が行われ、第1乃至第4のサイクロイド溝は、第1のステアリングシャフトと偏心回転板との間の回転の伝達比と第2のステアリングシャフトと偏心回転板との間の回転の伝達比とを異ならせるように構成され、駆動源によりキャリアを回転させることにより、第1のステアリングシャフトと第2のステアリングシャフトとの間の回転の伝達比を変化させるように構成されているので、伝達比可変機構の構造が簡単となり、しかも第1のステアリングシャフトと前記第2のステアリングシャフトとの間の回転の伝達比を容易に変化させることができる効果がある。

30

40

【発明を実施するための最良の形態】

【0009】

実施の形態1.

図1は、この発明の実施の形態1に係る伝達比可変機構の構成を示す断面図である。図1に於いて、第1のステアリングシャフト1は、ボールベアリングから成る第1の軸受14によりハウジング13に回転自在に支持されており、運転者が操舵する操舵ハンドル(図示せず)と一体となって回転する。この第1のステアリングシャフト1の端部101は円盤状に構成され、その外周部に第1の凹溝102が環状に形成されている。第2のステアリングシャフト2は、第1のステアリングシャフト1と同軸に配置され、ボールベアリングから成る第2の軸受15によりハウジング13に回転自在に支持されている。この第

50

2のステアリングシャフト2の端部201は円盤状に構成され、その外周部に第2の凹溝202が環状に形成されている。

【0010】

第1のステアリングシャフト1の端部101の外周部には、第1の凹溝102に係合する第1の回転支持ボール群9を介して第1の外輪8が回転自在に装着されている。第2のステアリングシャフト2の端部201の外周部には、第2の凹溝202に係合する第2の回転支持ボール群11を介して第2の外輪10が回転自在に装着されている。第1の外輪8及び第2の外輪10の外周面は、略円筒形状に形成されたキャリア4の内周面に固定されている。キャリア4は、第1の回転支持ボール群9と第1の外輪8、及び第2の回転支持ボール群11と第2の外輪10とを介して、第1のステアリングシャフト1の端部101及び第2のステアリングシャフト2の端部201に回転自在に支持されている。

10

【0011】

円盤状に形成された偏心回転板3は、第1のステアリングシャフト1の端部101と第2のステアリングシャフト2の端部201との間に配置され、その両側部の表面は、第1のステアリングシャフト1の端部101の表面と、第2のステアリングシャフト2の端部201の表面とに夫々間隔を介して対向している。この偏心回転板3は、キャリア4の内周面に針状コロから成るベアリング5を介して回転自在に支持されている。更に、偏心回転板3の軸心301は、第1のステアリングシャフト1及び第2のステアリングシャフト2の軸心100から所定距離だけ外れて配置されており、偏心回転板3は、第1のステアリングシャフト1及び第2のステアリングシャフト2に対して偏心して回転する。

20

【0012】

第1のステアリングシャフト1の端部101の表面に対向する偏心回転板3の表面には、後述するハイポサイクロイド曲線に基づいて構成された第1のサイクロイド溝302が形成されている。一方、第2のステアリングシャフト2の端部201の表面に対向する偏心回転板3の表面には、後述するハイポサイクロイド曲線に基づいて構成された第2のサイクロイド溝302が形成されている。これらの第1のサイクロイド溝302、及び第2のサイクロイド溝303は、偏心回転板3と同心に形成されている。

【0013】

第1のステアリングシャフト1の端部101の表面には、後述するエピサイクロイド曲線に基づいて構成された第3のサイクロイド曲線103が形成されている。又、第2のステアリングシャフト2の端部201の表面には、後述するエピサイクロイド曲線に基づいて構成された第4のサイクロイド曲線203が形成されている。これらの第3のサイクロイド溝103、及び第4のサイクロイド溝203は、第1のステアリングシャフト1及び第2のステアリングシャフト2と同心に形成されている。

30

【0014】

第1の回転伝達ボール群6は、第1のステアリングシャフト1の端部101の表面と偏心回転板3の一方の表面との間に配置され、後述するように第3のサイクロイド溝103と第1のサイクロイド溝302との夫々に転動可能に係合している。第2の回転伝達ボール群7は、第2のステアリングシャフト2の端部201の表面と偏心回転板3の他方の表面との間に配置され、後述するように第2のサイクロイド溝303と第4のサイクロイド溝203との夫々に転動可能に係合している。又、後述するように、第1のステアリングシャフト1と第2のステアリングシャフト2は、キャリア4により、偏心回転板3の方向に与圧が加えられている。

40

【0015】

環状の傘歯車で構成された第1の歯車12は、その円盤状に形成された支持部122の外周面がキャリア4の内周面に固定されており、キャリア4と一体に回転する。又、第1の歯車12は、中心部に中心孔121を備え、その中心孔121を第2のステアリングシャフト2が貫通している。環状の傘歯車で構成された第2の歯車16は、第1の歯車12に噛合している。第1の歯車12はキャリア4の軸心と同一直線上に軸心を有し、第2の歯車16はキャリア4の軸心の方向と直交する方向の軸心を有する。

50

## 【0016】

ハウジング13は、ほぼ円筒形状に形成され、その内部に第1のステアリングシャフト1の端部101、及び第2のステアリングシャフト2の端部201、キャリア4、第1の歯車12、及び第2の歯車16を収納している。

## 【0017】

キャリア駆動手段を構成する電動機20は、ハウジング13の外表面部に固定されており、その回転子軸2001の端部と第2の歯車16とは一体に固定されている。又、電動機20の回転子軸2001及び第2の歯車16は、ボールベアリングから成る第3の軸受17により回転自在に支持されている。電動機20は、第2の歯車16を回転させることにより第1の歯車12を介してキャリア4を回転させる。ハウジング13の外表面部に設けられたキャリア固定手段19は、第2の歯車16の回転を禁止することにより第1の歯車12を介してキャリア4の回転を禁止する。キャリア固定手段19は、ソレノイド(図示せず)の付勢により駆動される固定爪(図示せず)と、この固定爪に係合し得る固定溝を有し第2の歯車16に固定されたキャリア固定回転板(図示せず)とから構成されている。

10

## 【0018】

キャリア固定手段19のソレノイドが消勢(非通電)のときに、固定爪がキャリア固定回転板の固定溝に係合してキャリア固定回転板の回転を禁止し、第2の歯車16及び第1の歯車12を介してキャリア4の回転を禁止する。又、ソレノイドの付勢(通電)により、固定爪とキャリア固定回転板の固定溝との係合が解かれ、キャリア固定回転板は回転可能となり、キャリア4は回転可能となる。尚、ソレノイドの付勢により固定爪を固定溝に係合させてキャリア4を固定し、ソレノイドの消勢によりその係合を解いてキャリア4の回転を可能としても良いが、ソレノイドの消勢時にキャリア4を固定し、ソレノイドの付勢時にキャリア4の回転を許容するよう構成するのが望ましい。尚、固定爪に係合する固定溝の代わりに、固定爪に係合する固定穴を設けても良い。

20

## 【0019】

キャリア固定手段19と第2の歯車16との間に、キャリア回転許容手段18が設けられている。このキャリア回転許容手段18は、キャリア固定手段19によりキャリア4が固定された状態のときに、第1のステアリングシャフト1と第2のステアリングシャフト2との間に過大なトルクが加えられ、キャリア固定手段19に所定値以上の力が加えられたとき、第2の歯車16の回転を許容してキャリア4の回転を可能とするもので、第1乃至第4のサイクロイド溝302、303、103、203を用いた舵角重畳機構が破壊されることを防止する。キャリア回転許容手段18は、前述した固定溝を有するキャリア固定回転板と第2の歯車16との接続部分に所定以上のトルクが加えられたときに第2の歯車16の回転を許容する、所謂トルクリミッターにより構成することができる。

30

## 【0020】

次に、偏心回転板3と、第1のステアリングシャフト1と、第2のステアリングシャフト2との各表面に形成されている第1乃至第4のサイクロイド溝302、303、103、203について説明する。偏心回転板3の両側部の表面に夫々形成された第1のサイクロイド溝302と第2のサイクロイド溝303とは、夫々ハイポサイクロイド曲線に基づいて構成され、第1のステアリングシャフト1の端部101の表面に形成された第3のサイクロイド溝103と、及び第2のステアリングシャフト2の端部201の表面に形成された第4のサイクロイド溝203とは、夫々エピサイクロイド曲線に基づいて構成されている。

40

## 【0021】

先ず始めに、エピサイクロイド曲線について説明する。図2は、エピサイクロイド曲線の説明図である。図2に於いて、(c)に示すエピサイクロイド曲線Ecは、(a)及び(b)に示すように、小円Csの外周に接するように大円Crを配置し、この大円Crを小円Csに接しさせながら回転させたとき、大円Cr上の1点Pが描く軌跡である。ここで、大円Crの半径をRr、大円Crと小円Csの半径の差をdRとする。図2の(a)に示す位置から大円Crの回転がスタートし、大円Crが小円Csの周りを丁度1回転(3

50

60°)したとき、図2の(b)に示す位置となる。

【0022】

このとき、大円Crの周長と小円Csの周長との差により、大円Crは、図2の(a)の位置から(b)の位置へ回転することとなり、大円Cr上の1点Pの軌跡は図2の(b)に示すEcとなる。今、この大円Crの回転角をθとすると、この回転角θは、次式(1)で示される。

【数1】

$$\theta = \frac{2\pi Rr - 2\pi(Rr - dR)}{2\pi Rr} \times 360 = \frac{dR}{Rr} \times 360 \quad \text{式(1)}$$

10

【0023】

従って、大円Cr上の1点Pが、図2の(a)に示す最初の位置に戻るためには、大円Crの半径Rrは、大円Crと小円Csの半径の差dRの倍数でなければならない。又、大円Crと小円Csの接点の回転角度をφとすると、式(1)から大円Crの回転角θは次式(2)で示される。

【数2】

$$\theta = \frac{dR}{Rr} \times \text{mod}(\phi, 360) \quad \text{式(2)}$$

20

但し、mod(φ, 360)は、φを360°で除したときの剰余を表す。

【0024】

次に、大円Crが図2の(a)に示す位置から回転を開始し、初めて大円Cr上の1点Pが小円Cs上に接するときの大円Crの回転角度をψとすると、式(2)と、大円Crの回転角度θと、大円Crと小円Csの接点の回転角度である[mod(φ, 360)]とが一致すること、とから次式(3)が成立する。

【数3】

$$\psi = \frac{dR}{Rr} \times (\psi + 360) \quad \text{式(3)}$$

30

【0025】

式3を、ψについて解くと、次式(4)が得られる。

【数4】

$$\psi = \frac{dR}{Rr - dR} \times 360 \quad \text{式(4)}$$

【0026】

式(4)は、小円Cs上に、大円Cr上の1点Pが角度ψ毎に接することを意味している。従って、式(4)から、エピサイクロイド曲線Ecの繰り返しの数(波数)nは、次式(5)で示される。

40

【数5】

$$n = 360 \div \left( \frac{dR}{Rr - dR} \times 360 \right) = \frac{Rr}{dR} - 1 \quad \text{式(5)}$$

【0027】

次に、ハイポサイクロイド曲線について説明する。図3は、ハイポサイクロイド曲線の説明図である。図3に於いて、(c)に示すハイポサイクロイド曲線Hcは、(a)及び(b)に示すように、大円C1の内周に接するように小円Crを配置し、この小円Crを大円C1に内接させながら回転させたとき、小円Cr上の1点Pが描く軌跡である。ここ

50

で、小円C<sub>r</sub>の半径R<sub>r</sub>と大円C<sub>l</sub>の半径の差をdRとする。図3の(a)に示す位置から小円C<sub>r</sub>の回転がスタートし、小円C<sub>r</sub>が大円C<sub>l</sub>の内周を丁度1回転(360°)したとき、図3の(b)に示す位置となる。

【0028】

このとき、小円C<sub>r</sub>の周長と大円C<sub>l</sub>の周長との差により、小円C<sub>r</sub>は、図3の(a)の位置から(b)の位置へ回転することとなり、小円C<sub>r</sub>上の1点Pの軌跡は図3の(b)に示すH<sub>c</sub>となる。今、この小円C<sub>r</sub>の回転角をθとすると、この回転角θは、次式(6)で示される。

【数6】

$$\theta = \frac{2\pi R_r - 2\pi(R_r + dR)}{2\pi R_r} \times 360 = -\frac{dR}{R_r} \times 360 \quad \text{式(6)}$$

10

【0029】

従って、小円C<sub>r</sub>上の1点Pが、最初の位置に戻るためには、小円C<sub>r</sub>の半径R<sub>r</sub>は、小円C<sub>r</sub>の半径R<sub>r</sub>と大円C<sub>l</sub>の半径の差dRの倍数でなければならない。又、小円C<sub>r</sub>と大円C<sub>l</sub>の接点の回転角度をφとすると、式(6)から小円C<sub>r</sub>の回転角θは次式(7)で示される。

【数7】

$$\theta = -\frac{dR}{R_r} \times \text{mod}(\phi, 360) \quad \text{式(7)}$$

20

但し、mod(φ, 360)は、φを360°で除したときの剰余を表す。

【0030】

次に、小円C<sub>r</sub>が図3の(a)の位置から回転を開始し、初めて小円上の1点Pが大円C<sub>s</sub>上に接するときの小円C<sub>r</sub>の回転角度をψとすると、式(7)と、小円C<sub>r</sub>の回転角度θと、小円C<sub>r</sub>と大円C<sub>l</sub>の接点の角度である[mod(φ, 360)]とが一致すること、とにより次式(8)が成立する。

【数8】

$$\psi = -\frac{dR}{R_r} \times (\psi + 360) \quad \text{式(8)}$$

30

【0031】

式8を、ψについて解くと次式(9)が得られる。

【数9】

$$\psi = -\frac{dR}{R_r + dR} \times 360 \quad \text{式(9)}$$

【0032】

式(9)は、大円C<sub>l</sub>に小円C<sub>r</sub>上の1点Pが角度ψ毎に接することを意味している。従って、式(9)から、ハイポサイクロイド曲線H<sub>c</sub>の繰り返しの数(波数)nは、次式(10)で示される。

40

【数10】

$$n = 360 \div \left( \frac{dR}{R_r + dR} \times 360 \right) = \frac{R_r}{dR} + 1 \quad \text{式(10)}$$

【0033】

次に、図4に基づいて、エピサイクロイド曲線E<sub>c</sub>とハイポサイクロイド曲線H<sub>c</sub>との組み合わせによる回転伝達について説明する。図4の(a)は、エピサイクロイド曲線E<sub>c</sub>の中心とハイポサイクロイド曲線H<sub>c</sub>の中心を重ねて表示しており、エピサイクロイド

50



曲線 E c の大円 C r とハイポサイクロイド曲線 H c の小円 C r の半径を同一の R r としたものである。この半径 R r の円を基準円と称する。又、図 4 の ( a ) は、エピサイクロイド曲線 E c に於ける大円 C r と小円 C s の半径の差と、ハイポサイクロイド曲線 H c に於ける大円 C l と小円 C r の半径の差とを同一の d R として夫々のサイクロイド曲線を形成したものである。

【 0 0 3 4 】

図 4 の ( b ) は、エピサイクロイド曲線 E c の中心とハイポサイクロイド曲線 H c との中心を、[ 2 × d R ] だけ偏心させて表示している。このようにエピサイクロイド曲線 E c とハイポサイクロイド曲線 H c とを偏心させると、図 4 の ( c ) に示すように、エピサイクロイド曲線 E c とハイポサイクロイド曲線 H c とは、[ R r / d R ] 個の接点 b a を持つ。

10

【 0 0 3 5 】

次に、エピサイクロイド曲線 E c とハイポサイクロイド曲線 H c とを接しながら回転させることを考える。図 4 の ( d ) は、回転の初期の状態を示している。図 4 の ( e ) は、エピサイクロイド曲線 E c とハイポサイクロイド曲線 H c とを接しながら回転させている状態を示している。図 4 の ( f ) は、エピサイクロイド曲線 E c を丁度 1 回転 ( 1 波回転 ) させた時の状態を示しており、ハイポサイクロイド曲線 H c も丁度 1 回転 ( 1 波回転 ) していることを示している。即ち、エピサイクロイド曲線 E c の波数を n e 、ハイポサイクロイド曲線 H c の波数を n h とすると、夫々、式 ( 5 ) と式 ( 1 0 ) とにより、エピサイクロイド曲線 E c の波数 n e 、ハイポサイクロイド曲線 H c の波数 n h は、次式 ( 1 1 )

20

【 数 1 1 】

$$\begin{aligned} ne &= \frac{Rr}{dR} - 1 \\ nh &= \frac{Rr}{dR} + 1 \end{aligned} \quad \text{式 ( 1 1 )}$$

【 0 0 3 6 】

従って、エピサイクロイド曲線 E c とハイポサイクロイド曲線 H c の回転の伝達比 ( 変速比ともいうが、以下の説明では、回転の伝達比と称する ) G は、式 ( 1 1 ) から、次式 ( 1 2 ) となる。

30

【 数 1 2 】

$$G = \frac{ne}{nh} = \frac{\frac{Rr}{dR} - 1}{\frac{Rr}{dR} + 1} = \frac{Rr - dR}{Rr + dR} \quad \text{式 ( 1 2 )}$$

【 0 0 3 7 】

次に、この発明の実施の形態 1 による伝達比可変機構について、その構成をより具体的に説明する。図 1 に於いて、第 1 のステアリングシャフト 1 には、前述の通り第 3 のサイクロイド溝 1 0 3 が形成されている。この第 3 のサイクロイド溝 1 0 3 は、前述のエピサイクロイド曲線 E c に基づいて構成されており、その基準円の半径を R r 1 とし、大円と小円の半径の差を d R とする。第 3 のサイクロイド溝 1 0 3 に対向する偏心回転板 3 に形成された第 1 のサイクロイド溝 3 0 2 は、前述のハイポサイクロイド曲線 H c に基づいて構成されており、その基準円の半径は、第 3 のサイクロイド曲線の基準円の半径と同一の R r 1 であり、又、大円と小円の半径の差は、第 3 のサイクロイド溝 1 0 3 に於ける大円と小円の半径の差と同一の d R である。ここで、半径 R r 1 の基準円を第 1 の基準円と称する。

40

【 0 0 3 8 】

50

偏心回転板 3 は、その軸心 3 0 1 が、第 1 のステアリングシャフト 1 の軸心 1 0 0 に対して  $[2 \times dR]$  だけ偏心して、キャリア 4 により回転自在に支持されている。従って、前述したように、第 1 のサイクロイド溝 3 0 2 と第 3 のサイクロイド溝 1 0 3 との接点 b a は、 $[Rr1 / dr]$  個となり、この接点 b a の箇所に、第 1 の回転伝達ボール群 6 が配置されている。即ち、第 1 の回転伝達ボール群 6 は、第 1 のサイクロイド溝 3 0 2 と第 3 のサイクロイド溝 1 0 3 の相対位置関係を拘束する働きを有し、第 1 のステアリングシャフト 1 の回転を、偏心回転板 3 に伝達する。

【 0 0 3 9 】

第 1 のステアリングシャフト 1 と偏心回転板 3 との回転の伝達比  $G1$  は、次式 ( 1 2 ) により求められる。

【 数 1 2 】

$$G1 = \frac{Rr1 - dR}{Rr1 + dR} \quad \text{式 ( 1 3 )}$$

【 0 0 4 0 】

第 2 のステアリングシャフト 2 には、第 4 のサイクロイド溝 2 0 3 が形成されている。この第 4 のサイクロイド溝 2 0 3 は、前述のエピサイクロイド曲線  $E_c$  に基づいて構成されており、その基準円の半径を  $Rr2$  とし、大円と小円の半径の差を  $dR$  とする。第 4 のサイクロイド溝 2 0 3 に対向する偏心回転板 3 に形成された第 2 のサイクロイド溝 3 0 3 は、前述のハイポサイクロイド曲線  $H_c$  に基づいて構成されており、その基準円の半径は、第 4 のサイクロイド曲線の基準円の半径と同一の  $Rr2$  であり、又、大円と小円の半径の差は、第 4 のサイクロイド溝 2 0 3 に於ける大円と小円の半径の差と同一の  $dR$  である。ここで、半径  $Rr2$  の基準円を第 2 の基準円と称する。

【 0 0 4 1 】

第 4 のサイクロイド溝 2 0 3 と第 2 のサイクロイド溝 3 0 3 との関係は、第 3 のサイクロイド溝 1 0 3 と第 1 のサイクロイド溝 3 0 2 との関係に対して、基準円の半径が異なる他は同一である。

【 0 0 4 2 】

前述したように偏心回転板 3 は、その軸心 3 0 1 が、第 1 のステアリングシャフト 1 の軸心 1 0 0 に対して  $[2 \times dR]$  だけ偏心して、キャリア 4 により回転自在に支持されている。従って、前述したように、第 2 のサイクロイド溝 3 0 3 と第 4 のサイクロイド溝 2 0 3 との接点 b a は、 $[Rr2 / dr]$  個となり、この接点 b a の箇所に、第 2 の回転伝達ボール群 7 が配置されている。即ち、第 2 の回転伝達ボール群 7 は、第 2 のサイクロイド溝 3 0 3 と第 4 のサイクロイド溝 2 0 3 の相対位置関係を拘束する働きを持ち、偏心回転板 3 の回転を第 2 のステアリングシャフト 2 に伝達する。

【 0 0 4 3 】

第 1 のステアリングシャフト 1 と第 2 のステアリングシャフト 2 とは、同軸に配置されており、従って、第 1 のサイクロイド溝 3 0 2 と第 3 のサイクロイド溝 1 0 3 の偏心値と、第 2 のサイクロイド溝 3 0 3 と第 4 のサイクロイド溝 2 0 3 の偏心値とは、同一の値  $[2 \times dR]$  である。

【 0 0 4 4 】

ここで、偏心回転板 3 と、第 2 のステアリングシャフト 2 の回転の伝達比  $G2$  は、次式 ( 1 4 ) により求められる。

【 数 1 4 】

$$G2 = \frac{Rr2 + dR}{Rr2 - dR} \quad \text{式 ( 1 4 )}$$

【 0 0 4 5 】

従って、第 1 のステアリングシャフト 1 と第 2 のステアリングシャフト 2 の回転の伝達

10

20

30

40

50

比  $G_s$  は、次式 (15) により求められる。

【数 15】

$$G_s = G_1 \times G_2 = \frac{Rr_1 - dR}{Rr_1 + dR} \times \frac{Rr_2 + dR}{Rr_2 - dR} \quad \text{式 (15)}$$

【0046】

次に、第1のステアリングシャフト1を固定し、キャリア4を第1のステアリングシャフト1に対して1回転させたときの第2のステアリングシャフト2の回転について説明する。まず、第1のステアリングシャフト1とキャリア4と第2のステアリングシャフト2とを一体として角度  $\delta$  だけ回転させると、当然、キャリア4、第2のステアリングシャフト2も角度  $\delta$  だけ回転する。ここで、この状態から、第1のステアリングシャフト1のみを角度  $-\delta$ 、即ち逆方向に角度  $\delta$  だけ回転させたとすると、第1のステアリングシャフト1を回転させずにキャリア4のみを角度  $\delta$  だけ回転させたことと同等となる。従って、第1のステアリングシャフト1のみを角度  $-\delta$  だけ回転させた場合、第2のステアリングシャフト2は、式 (15) に示した回転の伝達比  $G_s$  に基づいて回転する。

10

【0047】

そこで、第1のステアリングシャフト1を固定して、キャリア4を角度  $\delta$  だけ回転させると、第2のステアリングシャフト2の回転角度  $\omega$  は、次式 (16) により求めることができる。

【数 16】

$$\omega = \delta - G_s \times \delta = \delta(1 - G_s) \quad \text{式 (16)}$$

20

【0048】

従って、キャリア4に対する第2のステアリングシャフト2への回転の伝達比  $G_a$  は、次式 (17) により求められる。

【数 17】

$$G_a = \frac{\omega}{\delta} = (1 - G_s) \quad \text{式 (17)}$$

【0049】

以上説明したことを纏めると、第1のステアリングシャフト1の回転角を  $\theta_1$ 、キャリア4の回転角を  $\theta_c$  とすると、第2のステアリングシャフト2の回転角  $\theta_2$  は、次式 (18) により表わすことができる。

30

【数 18】

$$\theta_2 = G_s \times \theta_1 + (1 - G_s) \times \theta_c \quad \text{式 (18)}$$

【0050】

このように、第2のステアリングシャフト2の回転角  $\theta_2$  は、第1のステアリングシャフト1の回転角  $\theta_1$  に基づく回転角  $[G_s \times \theta_1]$  にキャリア4の回転角  $\theta_c$  に基づく回転角  $[(1 - G_s) \times \theta_c]$  を重畳したこととなる。第2のステアリングシャフト2の回転角  $\theta_2$  は、キャリア4の回転角  $\theta_c$  を電動機20により制御することにより、第1のステアリングシャフト1の回転角  $\theta_1$  に係わらず任意に得ることが可能であり、第1のステアリングシャフト1と第2のステアリングシャフト2との間の回転の伝達比を可変とすることができる。

40

【0051】

第1のステアリングシャフト1と第2のステアリングシャフト2とは、夫々、偏心回転板3側へ向かう軸方向の与圧が加えられている。この軸方向の与圧により、第1乃至第4のサイクロイド溝302、303、103、203と第1及び第2の回転伝達ボール群6、7との組み合わせにより構成される減速機構の回転のバックラッシュを零にすることができる。又、第1乃至第4のサイクロイド溝302、303、103、203と、第1及び

50

第2の回転伝達ボール群6、7との接触は、ボールの転がり接触であり、第1のステアリングシャフト1及び第2のステアリングシャフト2に軸方向の与圧を与えても歯車機構のように摩擦が増えることはないという特徴がある。

【0052】

第1のステアリングシャフト1と第2のステアリングシャフト2とに対して偏心回転板3の方向に与圧を与える機構としては、バネ座金により、第1のステアリングシャフト1と第2のステアリングシャフト2とを偏心回転板3の方向に常時付勢して与圧を与える構成、或いは、第1のステアリングシャフト1を回転支持している第1の外輪8及び第2のステアリングシャフト2を回転支持している第2の外輪10を、キャリア4の内周面の定位置に圧入固定することにより、第1のステアリングシャフト1と第2のステアリングシャフト2とに対して偏心回転板3の方向に与圧を与える構成等が適用可能であるが、この発明の実施の形態1では、後者を採用している。

10

【0053】

第1のステアリングシャフト1及び第2のステアリングシャフト2に対して、偏心回転板3の方向に与圧を与えているため、キャリア4を第1のステアリングシャフト1及び第2のステアリングシャフト2により回転支持する構成は、軸と直交する方向の力の他に軸方向の力をも受けることが可能な、例えば、アンギュラベアリングのような構造とすることが望ましい。又、第1のステアリングシャフト1と偏心回転板3との間の与圧と、第2のステアリングシャフト2と偏心回転板3との間の与圧をバランスさせるため、偏心回転板3をキャリア4に回転支持するベアリング5は、軸方向の力を支えない構造のものが適している。この様なベアリングとして、針状コロを用いたベアリングが適しており、特に針状コロが直接偏心回転板3の外周面を支える構造のものがコンパクト化する上で望ましい。

20

【0054】

又、第1の回転支持ボール群9が転動する第1の凹溝102と第1の外輪9との内面、第2の回転支持ボール群11が転動する第2の凹溝202と第2の外輪10の内面、針状コロから成るベアリング5が転動する偏心回転板3の外周面及びこの外周面に対向するキャリア4の内周面、及び、第1乃至第4のサイクロイド溝302、303、103、203の内面は、耐荷重性や耐久性を高めるため、侵炭処理や、高周波焼き入れ処理等の硬化処理を行うのが望ましい。

30

【0055】

次に、キャリア4を回転させる構成について説明する。図1に示したように、キャリア4は、第1のステアリングシャフト1及び、第2のステアリングシャフト2を中心として回転する。従って、通常の電動機により直接キャリア4を駆動することはできない。そこで、前述したように、キャリア4に、回転伝達用の第1の歯車12を設け、第1の歯車12に噛み合うように第2の歯車16を配置している。第1の歯車12と第2の歯車16とは、傘歯車を使用しており、バックラッシュが最小となるように、ボールベアリングから成る第3の軸受17によりハウジング13に回転自在に支持されている。このバックラッシュは、キャリア4に対する第2のステアリングシャフト2への回転の伝達比 $[1 - Gs]$ が乗じられて第2のステアリングシャフト2に減速して伝達されるので、実用上の問題は生じない。

40

【0056】

また、キャリア4の回転角は、電動機20により制御されるが、電動機20の故障や、電動機20を制御する装置の故障により、電動機20の回転子が自由回転可能な状態となることがあり得る。電動機20の回転子が自由回転可能となると、第2のステアリングシャフト2は、第1のステアリングシャフト1に対して、自由に回転することが可能となる。これは、操舵ハンドルの操舵が、転舵輪に伝わらないことを意味する。これを防止するために、キャリア固定手段19は、第2の歯車16の回転を禁止しキャリア4の回転を禁止する。

【0057】

50

以上のように構成されたこの発明の実施の形態 1 に係る伝達比可変機構に於いて、運転者が操舵ハンドルを操舵して第 1 のステアリングシャフト 1 を角度  $\theta_1$  だけ回転させると、第 2 のステアリングシャフト 2 が式 ( 18 ) に基づく角度  $\theta_2$  で回転し、転舵輪を角度  $\theta_2$  だけ転舵することができる。そして、キャリア 4 の回転角  $\theta_c$  を電動機 20 により制御することにより、第 1 のステアリングシャフト 1 の回転角  $\theta_1$  に係わらず、第 2 のステアリングシャフト 2 の回転角  $\theta_2$  を任意に得ることが可能であり、第 1 のステアリングシャフト 1 と第 2 のステアリングシャフト 2 との間の回転の伝達比を可変とすることができる。

【 0 0 5 8 】

又、キャリア固定手段 19 によりキャリア 4 の回転を禁止することにより、第 1 のステアリングシャフト 1 の回転を第 2 のステアリングシャフト 2 へ直接伝達することができるので、例えば、電動機 20 の故障等により、キャリア 4 が自由回転可能な状態になった場合に生じる操舵不能状態を防止することができる。

【 0 0 5 9 】

更に、キャリア回転許容手段 18 により、キャリア固定手段 19 に所定値以上の力が加えられたときにキャリア 4 の回転を許容することができるので、例えば第 2 のステアリングシャフト 2 が機械的に固定された状態で、第 1 のステアリングシャフト 1 へ過大なトルク入力が増えられた際、キャリア 4 の回転を許容し伝達比可変機構の故障を防止することができる。

【 0 0 6 0 】

尚、第 1 乃至第 4 のサイクロイド溝 302、303、103、203 に於けるエピサイクロイド曲線とハイポサイクロイド曲線の組み合わせは、前述の組み合わせに限らず、その他の組み合わせであっても良い。この場合、式 ( 1 ) 乃至 ( 18 ) の計算式は前述とは異なることとなるが、前述と同様の考え方に基づき、容易にその計算式を導出することができる。

【 0 0 6 1 】

第 1 乃至第 4 のサイクロイド溝 302、303、103、203 に於けるエピサイクロイド曲線とハイポサイクロイド曲線の組み合わせを、何れの組み合わせとした場合でも、キャリア 4 を固定した場合の第 1 のステアリングシャフト 1 と第 2 のステアリングシャフト 2 との回転の伝達比  $G_s$ 、及び第 1 のステアリングシャフト 1 を固定した場合のキャリア 4 と第 2 のステアリングシャフト 2 との回転の伝達比  $[1 - G_s]$  を実現するために、第 1 乃至第 4 のサイクロイド溝 302、303、103、203 が基準とするエピサイクロイド曲線とハイポサイクロイド曲線の組み合わせと、第 1 のステアリングシャフト 1 に設ける第 3 のサイクロイド溝が基準とするサイクロイド曲線の第 1 の基準円の半径  $R_{r1}$  及び大円と小円の半径の差  $dR$  と、第 2 のステアリングシャフト 2 に設ける第 4 のサイクロイド溝が基準とするサイクロイド曲線の第 2 の基準円の半径  $R_{r2}$  及び大円と小円の半径の差  $dR$  と、電動機 20 とキャリア 4 との回転の伝達比を決定する第 1 の歯車 12 と第 2 の歯車 16 との回転の伝達比とが、演算に基づき設定される。

【 0 0 6 2 】

実施の形態 2 .

図 5 は、この発明の実施の形態 2 に係る伝達比可変機構の構成を示す断面図である。実施の形態 1 では、キャリア 4 を回転させるための第 1 の歯車 12 と第 2 の歯車 16 とを傘歯車により構成し、第 2 の歯車 16 の軸心の方向と電動機 20 の回転子軸 2001 の軸心の方向とを、キャリア 4 の軸心の方向に対して直交させる配置としたが、実施の形態 2 では、図 5 に示すように、第 1 の歯車 1201 及び第 2 の歯車 1601 を平歯車とし、電動機 20 の回転子軸 2002 及び第 2 の歯車 1601 の軸心 1600 の方向を、キャリア 4 の軸心 100 の方向と平行にして配置したものである。

【 0 0 6 3 】

この場合、平歯車により構成された第 1 の歯車 1201 及び第 2 の歯車 1601 のバックラッシュを最小にするために、第 1 の歯車 1201 及び第 2 の歯車 1601 をシザース

10

20

30

40

50

ギアにより構成するのが望ましい。電動機 20 はハウジング 13 の一方の軸方向端部に固定され、キャリア固定手段 19、及びキャリア回転許容手段 18 は、ハウジング 13 の他方の軸方向端部に固定されている。その他の構成は、実施の形態 1 に於ける伝達比可変機構と同様である。

【0064】

以上のように構成された実施の形態 2 に於ける伝達比可変機構は、実施の形態 1 に於ける伝達比可変機構と同様に、運転者が操舵ハンドルを操舵して第 1 のステアリングシャフト 1 を角度  $\theta_1$  だけ回転させると、第 2 のステアリングシャフト 2 が式 (18) に基づく角度  $\theta_2$  で回転し転舵輪を角度  $\theta_2$  だけ転舵することができる。そして、キャリア 4 の回転角  $\theta_c$  を電動機 20 により制御することにより、第 1 のステアリングシャフト 1 の回転角  $\theta_1$  に係わらず、第 2 のステアリングシャフト 2 の回転角  $\theta_2$  を任意に得ることが可能であり、第 1 のステアリングシャフト 1 と第 2 のステアリングシャフト 2 との間の回転の伝達比を可変とすることができる。

10

【0065】

実施の形態 2 に於ける伝達比可変機構によれば、実施の形態 1 に於ける伝達比可変機構に比べて、入出力軸上の軸方向の大きさを小さくすることができる。

【0066】

実施の形態 3 .

図 6 は、この発明の実施の形態 2 に係る伝達比可変機構の構成を示す断面図である。実施の形態 3 による伝達比可変機構は、図 6 に示すように、キャリア駆動手段を構成する電動機 20 は、中心部に貫通穴 2004 を備えた中空回転軸 2003 を備えている。この中空回転軸 2003 の軸心は、キャリア 4 の軸心と同一直線上に配置されている。第 2 のステアリングシャフト 2 は、中空回転軸 2003 の貫通穴 2004 を貫通している。接続部材 21 は、その外周面がキャリア 4 の内周面に固定され、中央部が電動機 20 の中空回転軸 2003 の端部に固定されている。

20

【0067】

キャリア固定手段 19 及びキャリア回転許容手段 18 は、電動機 20 の軸方向端部に固定され、ハウジング 13 の内部に収納されている。キャリア 4 は、歯車を介することなく電動機 20 により接続部材 21 を介して直接駆動される。その他の構成は実施の形態 1 及び 2 と同様である。尚、電動機 20、キャリア固定手段 18、及びキャリア回転許容手段 19 を第 1 のステアリングシャフト 1 側に配置し、第 1 のステアリングシャフト 1 を中空回転軸 2003 の貫通穴 2004 に貫通させるようにしても良い。

30

【0068】

以上のように構成された実施の形態 3 に於ける伝達比可変機構は、運転者が操舵ハンドルを操舵して第 1 のステアリングシャフト 1 を角度  $\theta_1$  だけ回転させると、第 2 のステアリングシャフト 2 が式 (18) に基づく角度  $\theta_2$  で回転し転舵輪を角度  $\theta_2$  だけ転舵することができる。そして、キャリア 4 の回転角  $\theta_c$  を電動機 20 により制御することにより、第 1 のステアリングシャフト 1 の回転角  $\theta_1$  に係わらず、第 2 のステアリングシャフト 2 の回転角  $\theta_2$  を任意に得ることが可能であり、第 1 のステアリングシャフト 1 と第 2 のステアリングシャフト 2 との間の回転の伝達比を可変とすることができる。

40

【0069】

実施の形態 3 に於ける伝達比可変機構によれば、実施の形態 1 及び 2 に於ける伝達比可変機構に比べて、半径方向の大きさを更に小さくすることができ、且つ電動機 20、キャリア固定手段 19、及びキャリア回転許容手段 18 がハウジング 13 の内部に収納されているので、外観をシンプルにすることができる。

【0070】

実施の形態例 4 .

図 7 は、この発明の実施の形態 4 に係る伝達比可変機構の構成を示す断面図である。図 7 に於いて、電動機 20 は、直流ブラシレス電動機により構成され、キャリア 4 の外周面に固定された永久磁石 22 と、ハウジング 13 の内周面に固定された固定子コイル 23 と

50

を備えている。キャリア4と永久磁石22とは、電動機20の回転子を構成している。固定子コイル23は、電動機制御装置（図示せず）により通電パターンが制御され、永久磁石22とキャリア4とから成る回転子を所望の角度に回転させる。

【0071】

接続部材21は、その外周面がキャリア4の内周面に固定され、中央部がキャリア回転許容部材18及びキャリア固定手段19に連結されている。キャリア回転許容部材18及びキャリア固定手段19は、第2のステアリングシャフト2により支持されている。永久磁石22の回転位置を検出する磁極検出器（図示せず）が設けられており、その磁極検出器の出力に応じて、固定子コイル23の通電パターンが制御され、キャリア4の回転角、ひいては第2のステアリングシャフト2の回転角が制御される。その他の構成は実施の形態1及び2と同様である。

10

【0072】

尚、磁極検出器の代わりにキャリア4の回転角度を検出する角度検出器を設けても良い。又、電動機20は、永久磁石を用いた直流ブラシレス電動機に限定されるものではなく、ブラシ付き電動機や、リラクタンス電動機等でも良く、キャリア4を回転子の構成部材の一つとし、これを回転させることができる電動機であれば、何れも適用可能である。

【0073】

以上のように構成された実施の形態4に於ける伝達比可変機構は、運転者が操舵ハンドルを操舵して第1のステアリングシャフト1を角度1だけ回転させると、第2のステアリングシャフト2が式(18)に基づく角度2で回転し転舵輪を角度2だけ転舵することができる。そして、キャリア4の回転角cを電動機20により制御することにより、第1のステアリングシャフト1の回転角1に係わらず、第2のステアリングシャフト2の回転角2を任意に得ることが可能であり、第1のステアリングシャフト1と第2のステアリングシャフト2との間の回転の伝達比を可変とすることができる。

20

【0074】

実施の形態4に於ける伝達比可変機構によれば、第1及び第2のステアリングシャフト1、2の軸方向の長さを短くすることができると共に、外観をシンプルにすることができる。

【図面の簡単な説明】

【0075】

30

【図1】この発明の実施の形態1に係る伝達比可変装置の構成を示す断面図である。

【図2】エピサイクロイド曲線を説明する説明図である。

【図3】ハイポサイクロイド曲線を説明する説明図である。

【図4】エピサイクロイド曲線とハイポサイクロイド曲線による回転伝達を説明する説明図である。

【図5】この発明の実施の形態2に係る伝達比可変機構の構成を示す断面図である。

【図6】この発明の実施の形態3に係る伝達比可変機構の構成を示す断面図である。

【図7】この発明の実施の形態4に係る伝達比可変機構の構成を示す断面図である。

【符号の説明】

【0076】

40

- 1 第1のステアリングシャフト
- 2 第2のステアリングシャフト
- 3 偏心回転板
- 4 キャリア
- 5 ベアリング
- 6 第1の回転伝達ボール群
- 7 第2の回転伝達ボール群
- 8 第1の外輪
- 9 第1の回転支持ボール群
- 10 第2の外輪

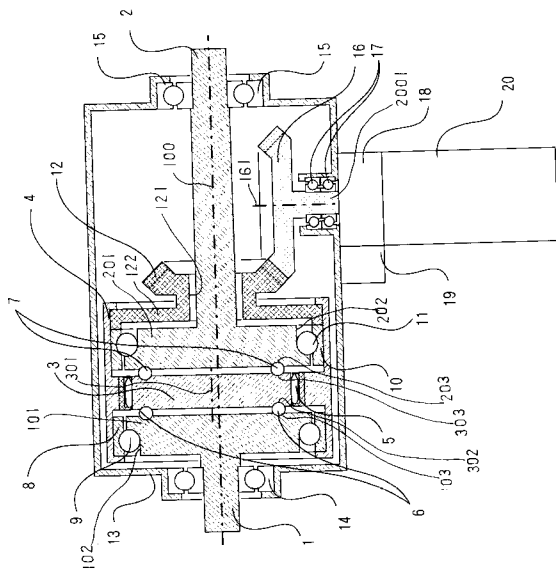
50

- 1 1 第2の回転支持ボール群
- 1 2、1 2 0 1 第1の歯車
- 1 3 ハウジング
- 1 4 第1の軸受
- 1 5 第2の軸受
- 1 6、1 6 0 1 第2の歯車
- 1 7 第3の軸受
- 1 8 キャリア回転許容手段
- 1 9 キャリア固定手段
- 2 0 電動機
- 2 0 0 1、2 0 0 2、2 0 0 3 回転子軸
- 2 1 接続部材
- 2 2 永久磁石
- 2 3 固定子コイル
- 1 0 1 第1のステアリングシャフトの端部
- 2 0 1 第2のステアリングシャフトの端部
- 1 0 2 第1の凹部
- 2 0 2 第2の凹部
- 3 0 2 第1のサイクロイド溝
- 3 0 3 第2のサイクロイド溝
- 1 0 3 第3のサイクロイド溝
- 2 0 3 第4のサイクロイド溝
- 1 2 2 支持部

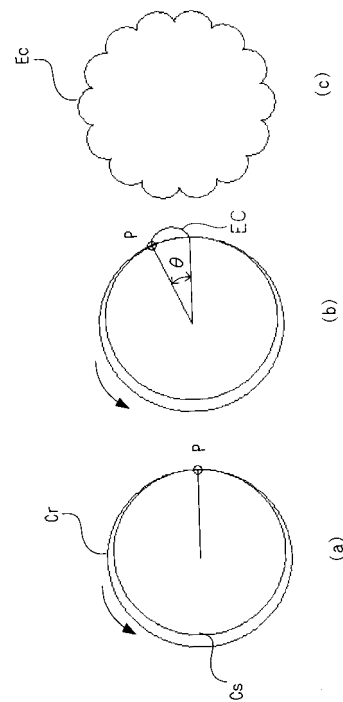
10

20

【図1】

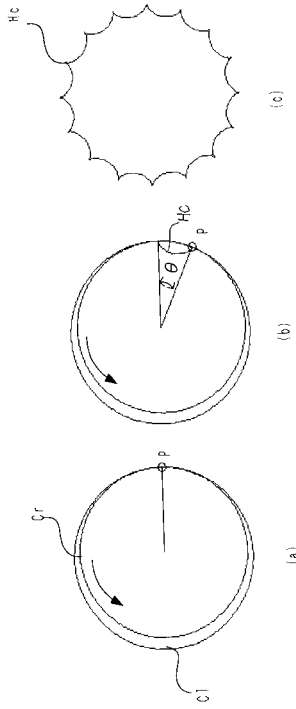


【図2】

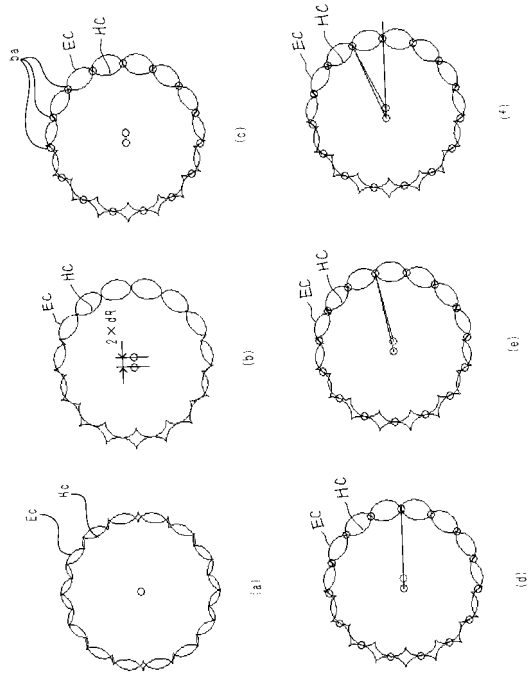




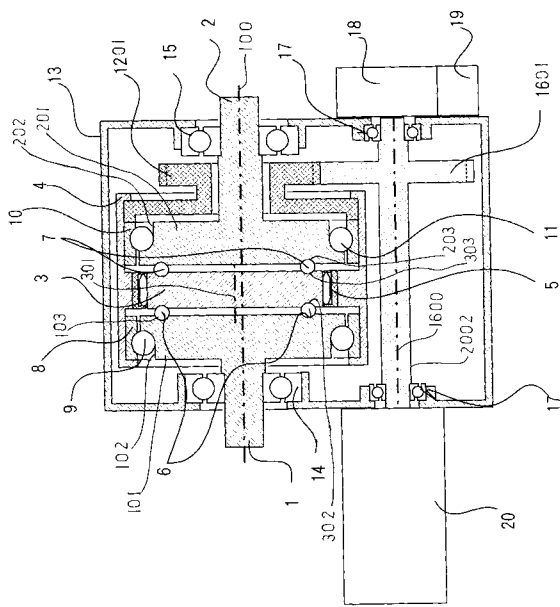
【図3】



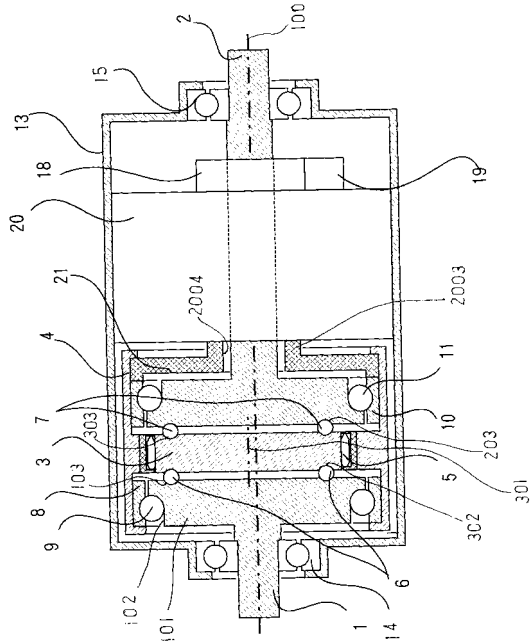
【図4】



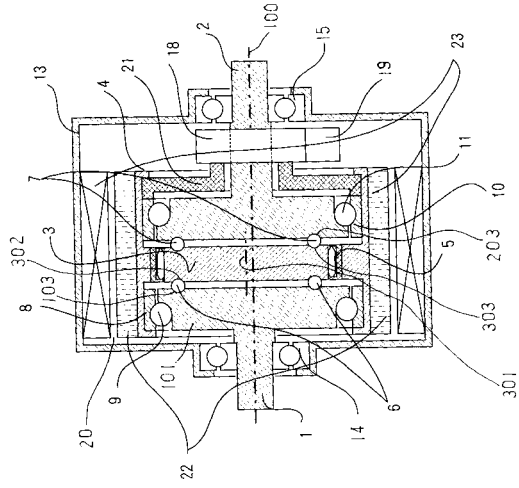
【図5】



【図6】



【 図 7 】



---

フロントページの続き

審査官 関 裕治朗

- (56)参考文献 特開2006-143029(JP,A)  
特開平11-227622(JP,A)  
特開2003-172419(JP,A)  
特開2005-247010(JP,A)  
特開2005-178519(JP,A)  
国際公開第2005/115819(WO,A1)

- (58)調査した分野(Int.Cl., DB名)  
B62D 5/04  
F16H 13/04